Sep 2006

纳米 Al_2O_3 掺杂对 $Ce_{0.8}Y_{0.2}O_{2-8}$ 晶界离子电导的影响

刘毅

(贵州大学理学院 贵阳 550003)

关键词 Ce, Yo,O, 固体电解质, AlO, 晶界离子电导率

中图分类号: 0614. 3, TQ174

文献标识码: A

文章编号: 1000 0518(2006)09 0978 04

近年来,复合第 2相掺杂作为氧化物固体电解质电性能改性的方法被广泛应用。研究表明 $^{[1\ 2]}$,在 多晶钇稳定氧化锆 (YSZ)中掺杂 $A_{1}O_{3}$ 有利于清除晶界中的 SO_{2} 杂质相,从而改善晶体的离子导电性能。空间电荷层模型和 "吞食效应"模型被分别用于其优化机制的解释。目前,稀土元素掺杂的 $C_{4}O_{2}$ 基固体电解质由于具有比 YSZ高的离子电导率和低的电导活化能而成为中温燃料电池 $(IF_{2}SO_{2}FC)$ 中理想的电解质材料 $^{[3-5]}$ 。与 YSZ相似, SO_{2} 杂质相的形成对该体系的晶界电导具有明显的影响 $^{[7\ 11]}$ 。如研究表明 $^{[6]}$,在 $Ce_{0.88}Gd_{0.12}O_{1.94}$ 中,当 SO_{2} 的含量为 0.1%时,在 380 $^{\circ}C$ 测试温度下晶界阻抗对总阻抗的贡献高达 96%。同时,最近的研究显示金属氧化物掺杂第 2相对 CeO_{2} 基固体电解质的晶界电导具有优化作用,如 Zhang 等 $^{[7]}$ 报道了有质量分数为 0.5% $FeO_{1.5}$ 掺杂使得 $Ce_{0.8}Gd_{0.2}O_{2-3}$ 的晶界电导率提高了 22.9%,其作用机理被认为是 $FeO_{1.5}$ 对晶界中 SO_{2} 的清除作用。然而目前用 $A_{1.0.9}$ 作为掺杂第 2相对 CeO_{2} 基固体电解质晶界电导的改性研究还较为少见。本文制备了单相多晶 $Ce_{0.8}Y_{0.2}O_{2-3}$ 固体电解质,并用纳米 $A_{1.0.9}$ 进行复合第 2相掺杂,研究了掺杂第 2相对 CeO_{2} 基固体电解质晶界电性能的影响。

1 实验部分

1.1 样品制备

1.2 样品表征

在 D m ax 2200型 X 射线衍射仪 (日本理学)上分析,扫描速率 4° m is 用 JEM-2000FX II 型高分辨率扫描透射电子显微镜 (日本岛津)观察样品晶体形貌;在片状烧结样品两侧镀上铂电极,用 ZL5型智能 LCR测试仪和 CD6型导纳电桥测量 $300 \sim 1~000$ $^\circ$ C温区内的交流阻抗谱和电导率,测试频率 12~H z $\sim 1.7~MH$ z

2 结果与讨论

2 1 微结构分析

由图 1a的 XRD 谱图可以看出,制备的 $Ce_0 * Y_0 *_2O_2 - *$ 具有单相性很好的立方萤石结构 [8]。随着

²⁰⁰⁵⁻¹⁰⁻⁰¹收稿, 2006-04-22修回

A 10.3掺杂量增加,XRD 谱图中出现了第 2相的衍射峰,图 1b为掺杂质量分数为 5%样品 1 300 [©]烧结体的 XRD图。图中分析表明,新出现的少量第 2相为 A 10.3相以及部分析出的 10.3与 A 10.3与点点 A 10.3相以及部分析出的 10.3与 A 10.3与 A 10.3相。图 2为掺杂质量分数为 10.3并品断面的 SEM 照片。从照片看出,样品的部分晶界不明显,可能是一部分第 2相在晶界处偏聚,强化了晶界,在样品断裂时,一些晶粒发生了穿晶断裂所致。

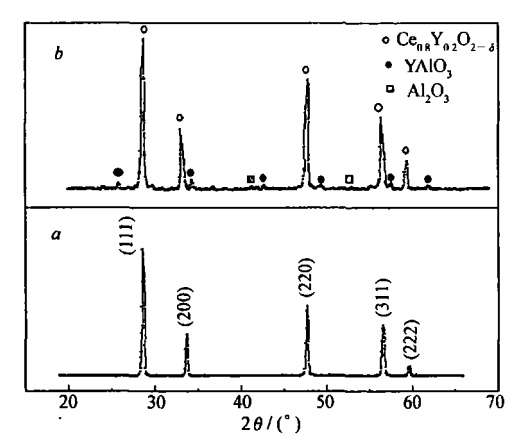
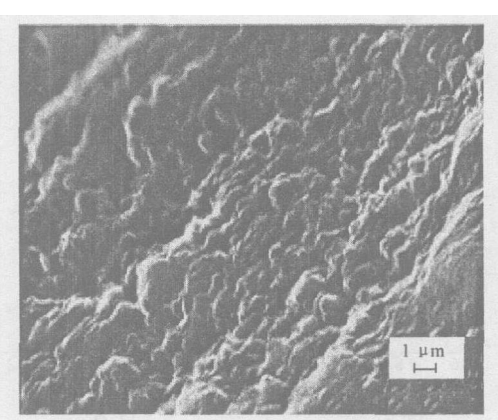


图 1 Ce_{0.8}Y_{0.2}O_{2-δ}+(x%) A ½O₃1300 [©]烧结体 的 X 射线衍射图

Fig 1 XRD patterns for $Ce_{0.8}Y_{0.2}O_{2-\delta}+$ (x^{0}_{0}) A $\underline{1}O_{3}$ sintered at 1 300 °C x a. 9 b. 5



1 300 ℃烧结体的 SEM 图 Fig 2 SEM photograph for Ce₀₈Y_{0.2}O_{2-δ}+ 5% Al₂O₃ sintered at 1 300 ℃

图 2 $Ce_{0.8}Y_{0.2}O_{2-\delta}+5\% A 1O_{3}$

2 2 晶界电性能分析

样品的晶界离子电导率 σ 与温度 T的关系通过 A rıhenius关系:

$$\sigma = \frac{\sigma_0}{T} \exp(-\frac{E}{\kappa T})$$

进行拟合, 式中, E 为电导活化能, κ 为波耳兹曼常数, σ_0 为电导常数。 Y_2O_3 和 A_2O_3 在 C_4O_2 中固溶后会产生氧空位:

$$Y_2O_3 \longrightarrow 2Y'_{Ce} + V\ddot{o} + 3O_0^{\times}$$

 $A \downarrow O_3 \longrightarrow 2A l'_{Ce} + V \ddot{o} + 3O_0^{\times}$

反应式中, Y'_{ce} 和 $A l'_{ce}$ 为 Y 和 A l 分别取代 Ce位后 形成的阳离子缺陷,<math>V 访为氧空位, $3O'_{o}$ 为氧原子位。由于库仑相互作用,氧空位易与阳离子缺陷 Y'_{ce} 、 $A l'_{ce}$ 等通过静电库仑力的作用形成缔合体,因此晶

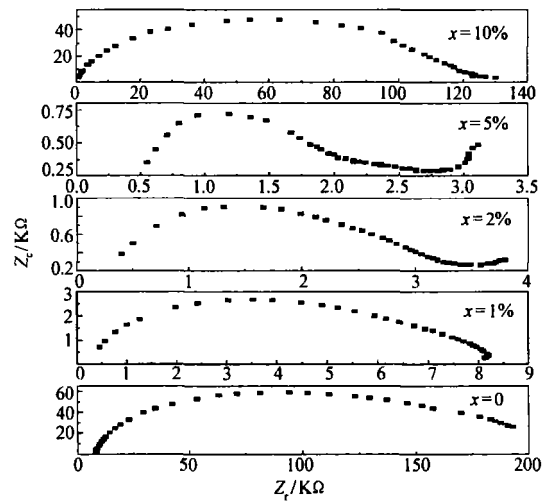


图 3 Ce_{a,8}Y_{a,2}O₂₋₃+(½%)A l₂O₃烧结体 在 400 [℃]测试温度下的交流阻抗谱图

Fig 3 AC in pedance spectra for $Ce_{0.8}Y_{0.2}O_{2-\delta}+$ (\cancel{x}_0) A $\cancel{1}$ O_3 m easured at 400 $^{\circ}$ C

界电导活化能包括了氧空位的迁移活化能和解缔活化能。从图 4 A rhenius曲线可以看出,各样品的 h $\sigma T \sim 1$ // 曲线都表现出良好的线性关系,表明 A $_{\rm L}O_3$ 的掺杂及第 2相的出现并未改变样品的离子导电机制。在中低温下(<800 $^{\circ}C$),A $_{\rm L}O_3$ 掺杂对样品的晶界电导率影响非常明显(表 1)。图 5给出了 500和 600 $^{\circ}C$ 测试温度下的晶界电导率比率($\sigma(x)$ / $\sigma(x=0)$,x为 A $_{\rm L}O_3$ 掺杂量)随 A $_{\rm L}O_3$ 掺杂量的变化 关系。随着 A $_{\rm L}O_3$ 掺杂量的增加,电导率显著上升,并在掺杂 A $_{\rm L}O_3$ 质量分数为 5%处达到最大,同时电

导活化能从 1.07 eV 分别减小为 0.74 0.66和 0.60 eV。当 $A \downarrow O_3$ 掺杂量进一步增加时 (10%),电导率 急剧下降,电导活化能上升为 0.91 eV。同时发现, $A \downarrow O_3$ 掺杂对离子电导率优化作用随着测试温度的降低而变得越来越明显,对固体电解质而言,由于温度越低,晶界相对材料的影响越大,因此中低温下的测量结果表明,掺杂对晶界电导的优化作用主要来自于 $A \downarrow O_3$ 与晶界相的作用。

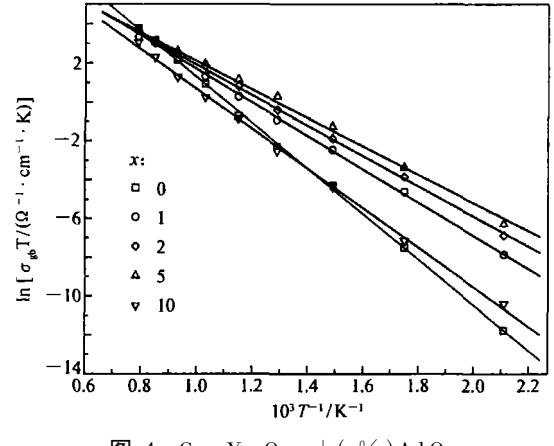


图 4 Ce_{0.8} Y_{0.2}O_{2-δ}+(🚀) A ½O₃ 1 300 °C 烧结体的 Amenius 图

Fig 4 Arrhenius p b ts for $Ce_{0.8}Y_{0.2}O_{2-\delta}+$ (x%) A $\c l_0$ 3 sintered at 1 300 $\c C$

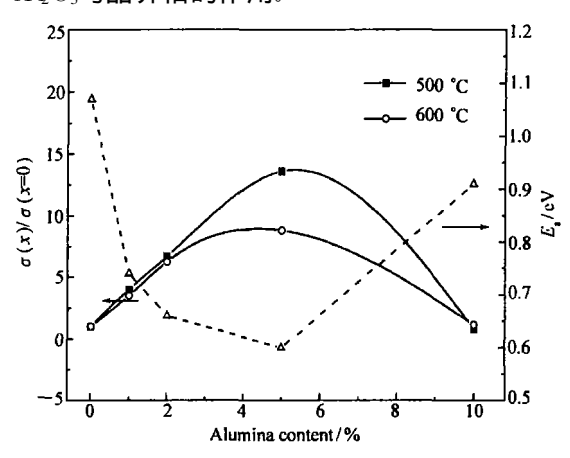


图 5 $Ce_{0.8}Y_{0.2}O_{2-\delta}+(x\%)A I_2O_3$ 1 300 $^{\circ}$ C烧结体的晶界电导率和电导活化能

Fig 5 G rain boundary conductivities (measured at 500 and 600 $^{\circ}$ C) and activation energies of Ce_{0.8} Y_{0.2}O₂₋₈+ ($x_{0.0}^{\circ}$) A $\frac{1}{2}$ O₃ sintered at 1 300 $^{\circ}$ C

为了对晶界的微观结构和形貌有一个清楚的了解,我们对掺杂质量分数为 5% A ${\tt LO}$ 的样品作了透射电子显微 (TEM)观察,从样品的 TEM 照片 (图 6)可以观测到,在样品的晶界位置聚集了部分掺杂的第 2相,第 2相部分粘接了相邻的晶粒,经能谱成分分析表明,晶界区域内的主要成分为 A l以及部分偏析出的 Ce Y 等元素,如图 7为晶界区域的 EDS谱。

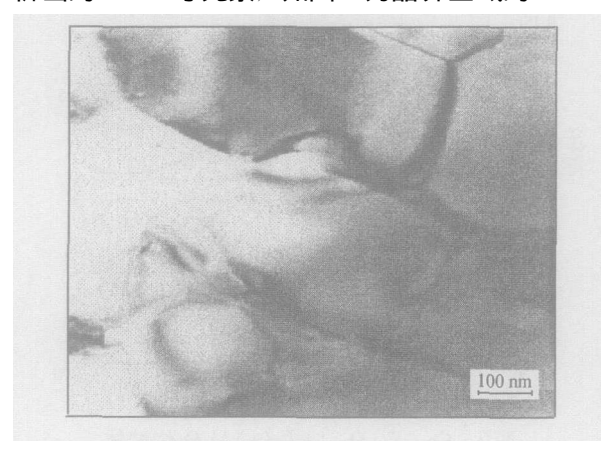


图 6 Ce_{0.8}Y_{0.2}O_{2-δ}+5% A ½O₃
1 300 °C烧结体的 TEM 照片
Fig 6 TEM photograph for Ce_{0.8}Y_{0.2}O_{2-δ}+5% A ½O₃
sintered at 1 300 °C

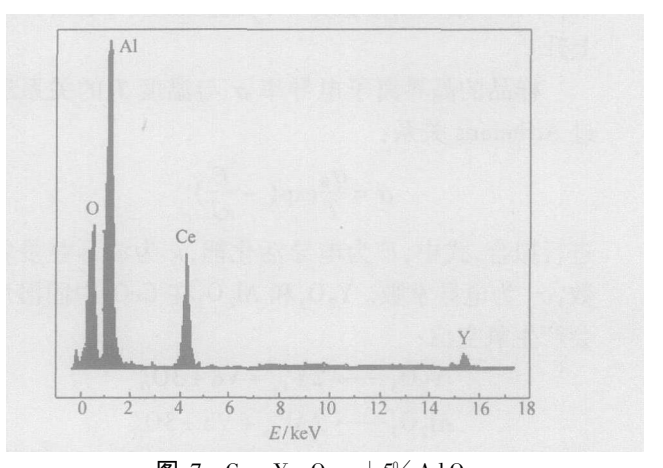


图 7 Ce_{0.8} Y_{0.2}O₂₋₈+5% A ½O₃
1 300 [©]烧结样品晶界区域的 EDS 谱
Fig. 7 EDS at the region of grain boundary of
Ce_{0.8} Y_{0.2}O₂₋₈ with 5% A ½O₃

根据等效电路模型^[9],由于第 2相对晶界的粘接,使得晶界内的氧离子导电通道由单一的直接接触通道结构变成了双通道结构,亦即整个电导由晶粒与晶粒间直接接触通道和粘接晶粒的第 2相通道并联而成。由于晶界电导活化能的降低,表明了氧离子在第 2相中的传输受到的缺陷缔合减弱,导致晶界离子电导率上升。根据晶界的空间电荷层模型^[10],固体电解质的晶界电阻 $R_{\rm g}$ 通常由 2部分组成:

$$R_{\rm gb} = R_{\rm SC} + R_{\rm gbi}$$

式中, R_{SC} 为空间电荷层电阻, R_{gbi} 为晶界相电阻。研究表明 $^{[10]}$,在 $C_{s}O_{2}$ 基固体电解质陶瓷中, SO_{2} 等杂质主要集中在晶界处,并形成晶界玻璃相阻碍了氧离子的传输。掺入的 $A_{b}O_{3}$ 对 SO_{2} 具有 "吞食效应",也即处于晶界处的 $A_{b}O_{3}$ 与 SO_{2} 发生了化学反应: $3A_{b}O_{3}+2SO_{2}$ — $A_{b}S_{b}O_{B}$ 。从而清除了晶界内的 SO_{2} 降低了晶界相电阻 R_{gbi} ,从而提高了晶界导电率。但当 $A_{b}O_{3}$ 掺入较多时,导致 A_{c} 。缺陷浓度增加,由于 $A_{b}C_{c}$ 对氧空位 V 该具有较强的缔合能力,使得空间电荷层中自由氧空位的浓度近一步降低,且通常缔合体 $\{A_{c}V_{c}V_{b}\}$ 具有较高的解缔能,因此当掺入 $A_{b}O_{3}$ 较多时,晶界电导活化能上升,晶界离子导电率降低。

表 1 Ce₀₈Y_{0.2}O_{2-δ}+(x%) A LO₃的晶界电导率和电导活化能

Table 1 Grain boundary conductivities and activation energies of Ce_{0.8}Y_{0.2}O_{2-δ}+(x%) A LO₃

ω(A 1 ₂ O ₃) ½	$10^{-2} \sigma$ /(Ω $^{-1} \cdot \mathrm{cm}^{-1}$) (at 800 $^{\circ}\mathrm{C}$)	E /eV	ω (A l ₂ O ₃) ½	$10^{-2} \sigma / (\Omega^{-1} \cdot \text{cm}^{-1})$ (at 800 °C)	E /eV
0	0. 81	1 07	5	1 26	0. 60
1	0. 86	0 74	10	0 33	0. 91
2	1. 11	0 66			

参 考 文 献

- 1 Butler E R Drennan J J Am Ceram Sod J, 1982 65 474
- 2 Rizea A, Chirlesan D Petot G et al Solid State Ionics J, 2002 146 341
- Navarro I, Marques F, Frade J J Electrochen Soc J, 1997, 144, 267
- 4 Godickem eier M. Sasak K. Gauckler L. J. J. Electrochem Soc J., 1997, 144, 1 635
- 5 Inaba H, Tagawa H. Solid State Ionics [J], 1996 83 1
- 6 Gerhardt R. Snowick A. Mochel M. E. et al. J. Am. Ceram. Soc. J., 1986, 69, 641
- 7 Zhang T S M a J Kong L B, et al Solid State Ionics J, 2004 167 203
- 8 Cheng JG, Zha SW, Huang J et al Mater Chan Phys [J], 2003 78 791
- 9 BadwalSPS Solid State Ionics J, 1995 76 67
- 10 Guo X. Solid State Ionics J, 1997, 96, 247
- 11 Zhang TS Ma J Kong LB et al Solid State Ionics J, 2005 176, 377

Effect of N ano-A $\frac{1}{2}$ O₃ Doping on G rain Boundary Conduction of Ce_{0.8} Y_{0.2} O₂₋₈ E lectrolyte

LIU Yi

(College of Science Guizhou Un iversity Guivang 550003)

Abstract The effect of nano- $A \ \ \ O_3$ doping on the grain boundary (GB) conductivity of polycrystalline $Ce_{0.8}Y_{0.2}O_{2-\delta}$ was investigated. It was found that the addition of $A \ \ \ O_3$ leads to a decrease in GB activation energy and an increase in the GB conductivity at low and moderate temperatures obviously. The results indicate that the effect is attributed to the inprovement of oxygen ion migration structure in the grain boundary due to the doping of $A \ \ \ \ \ O_3$.

Keywords Ce_{0.8}Y_{0.2}O₂₋₈ A ½O₃ grain boundary conductivity